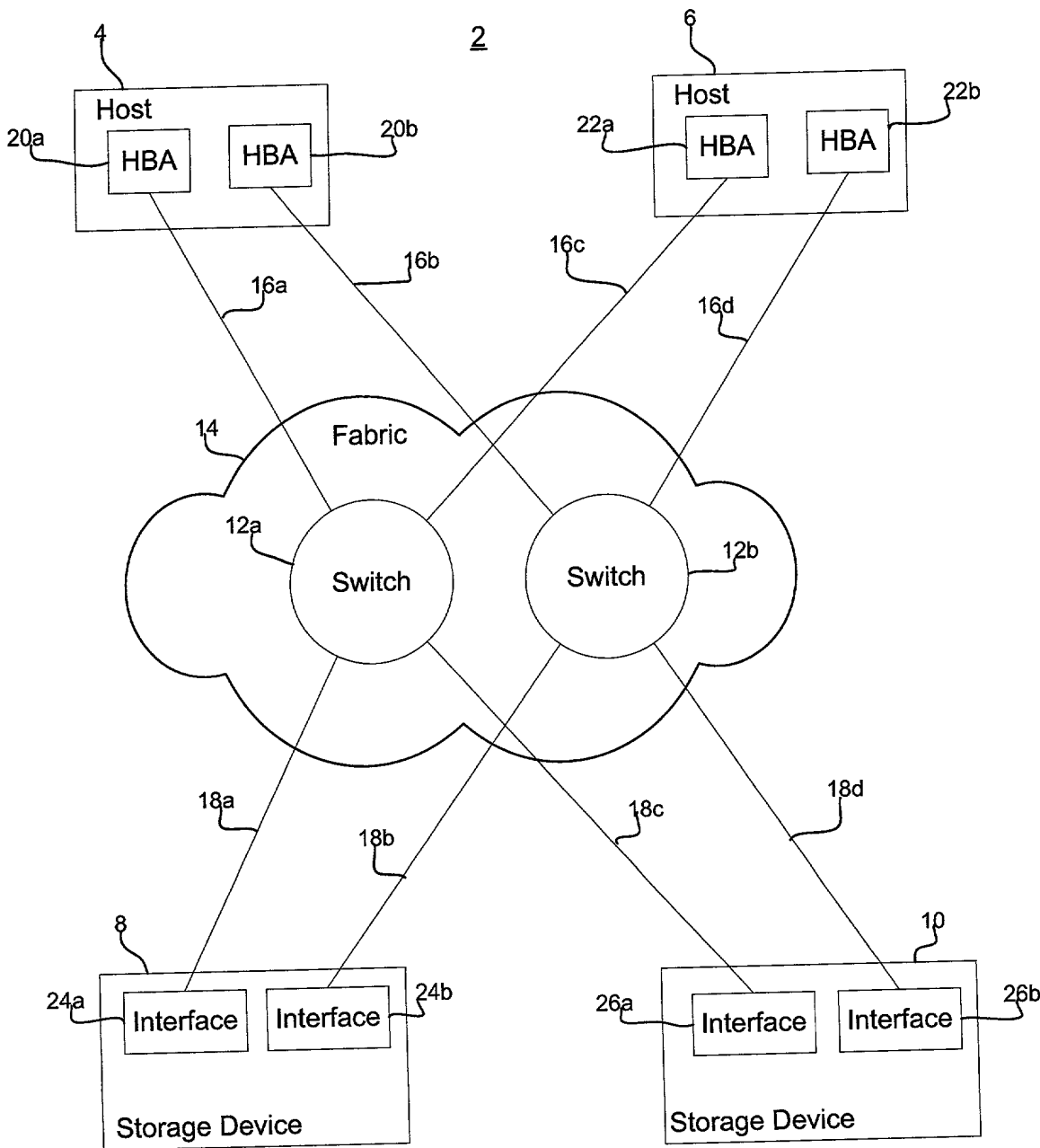


FIG. 1



P5764

R. DaSilva et al.

Sheet 2/18

100

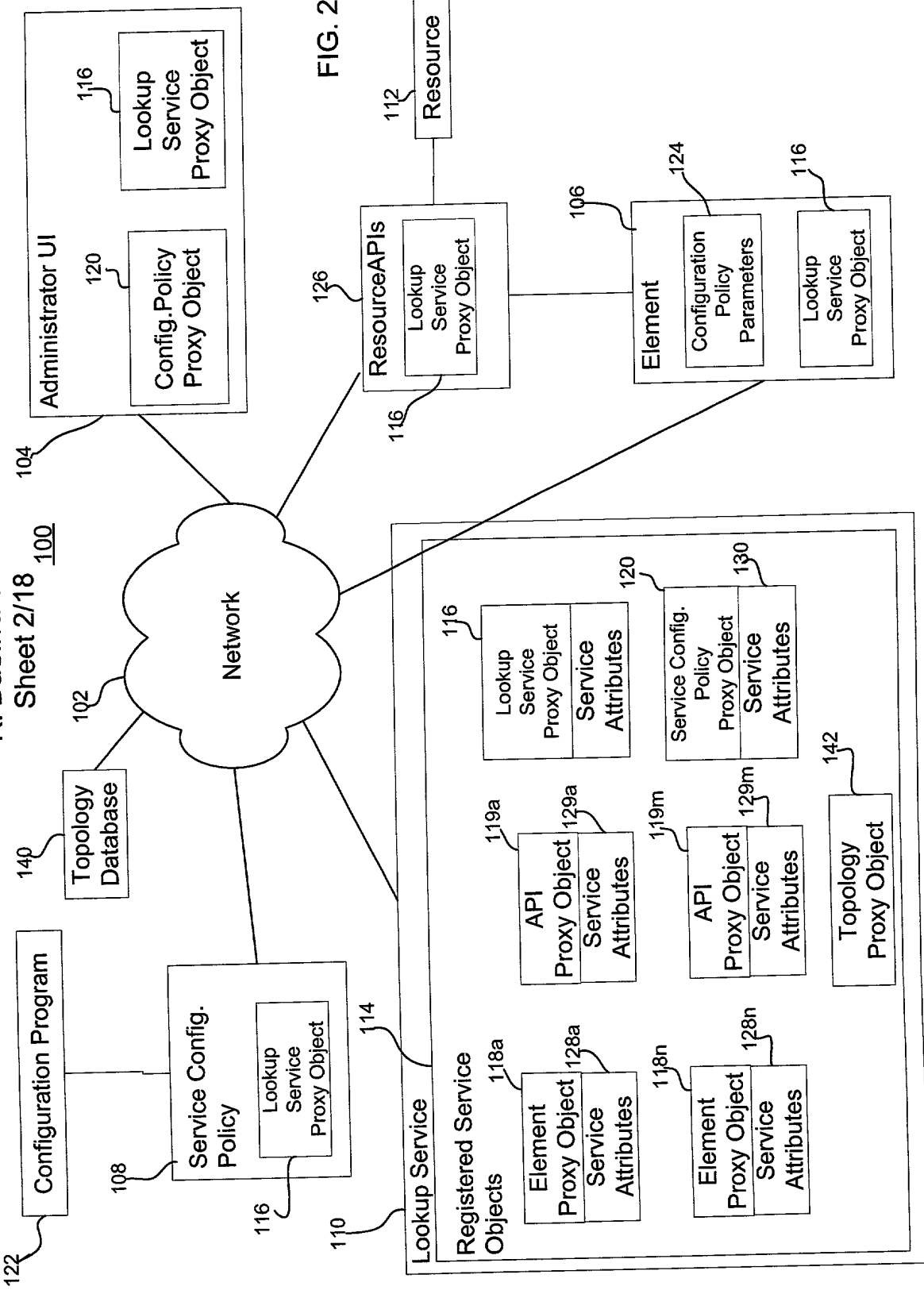


FIG. 2

FIG. 3

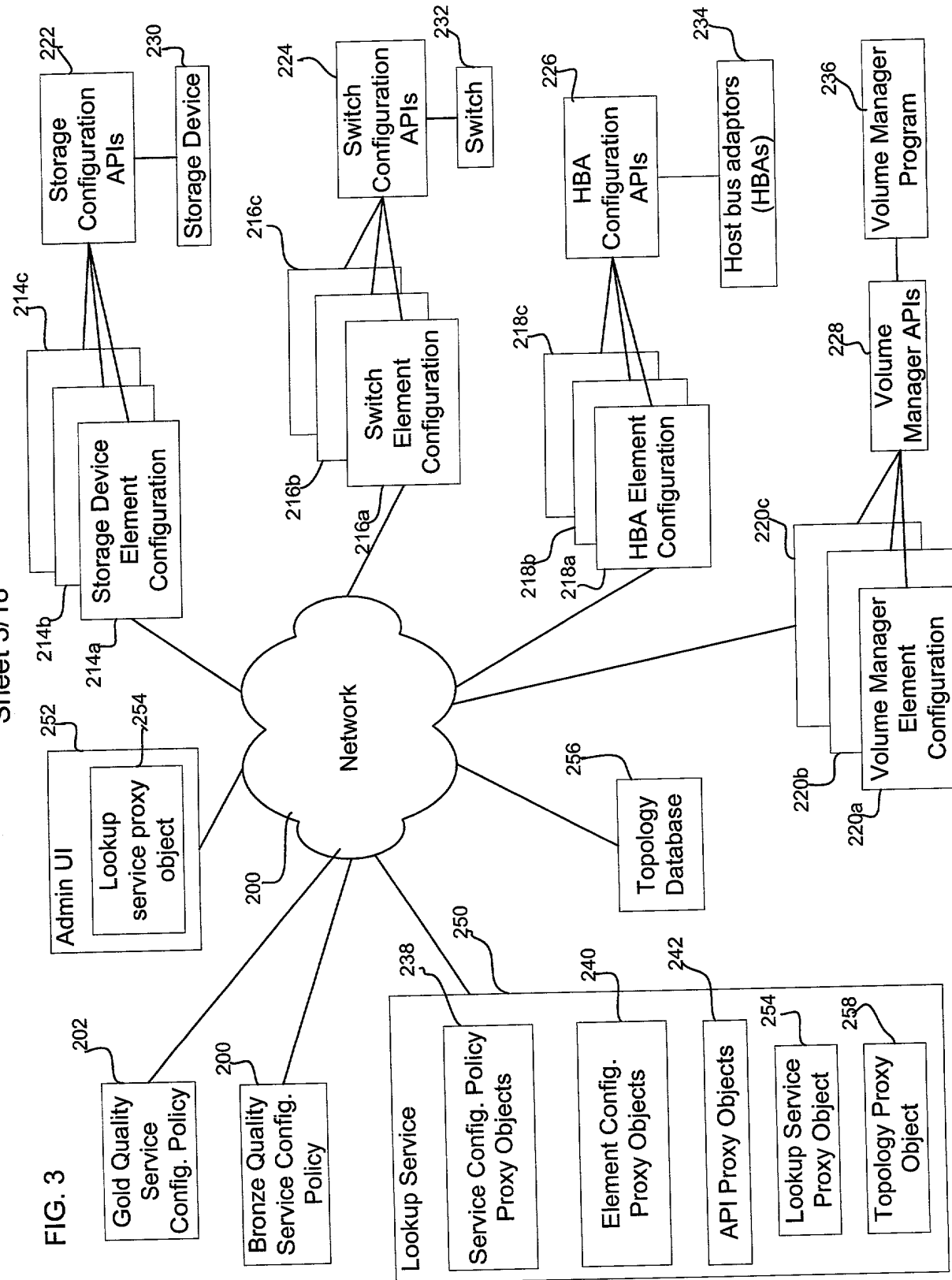
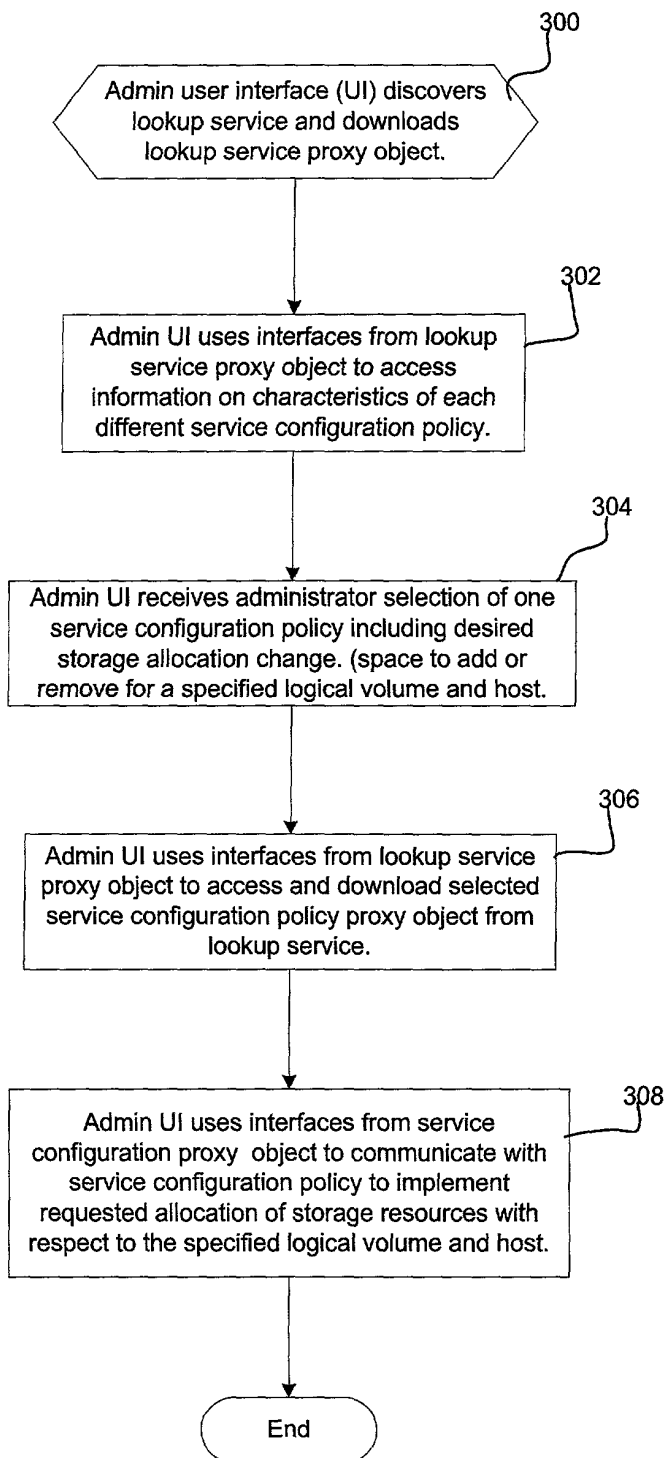
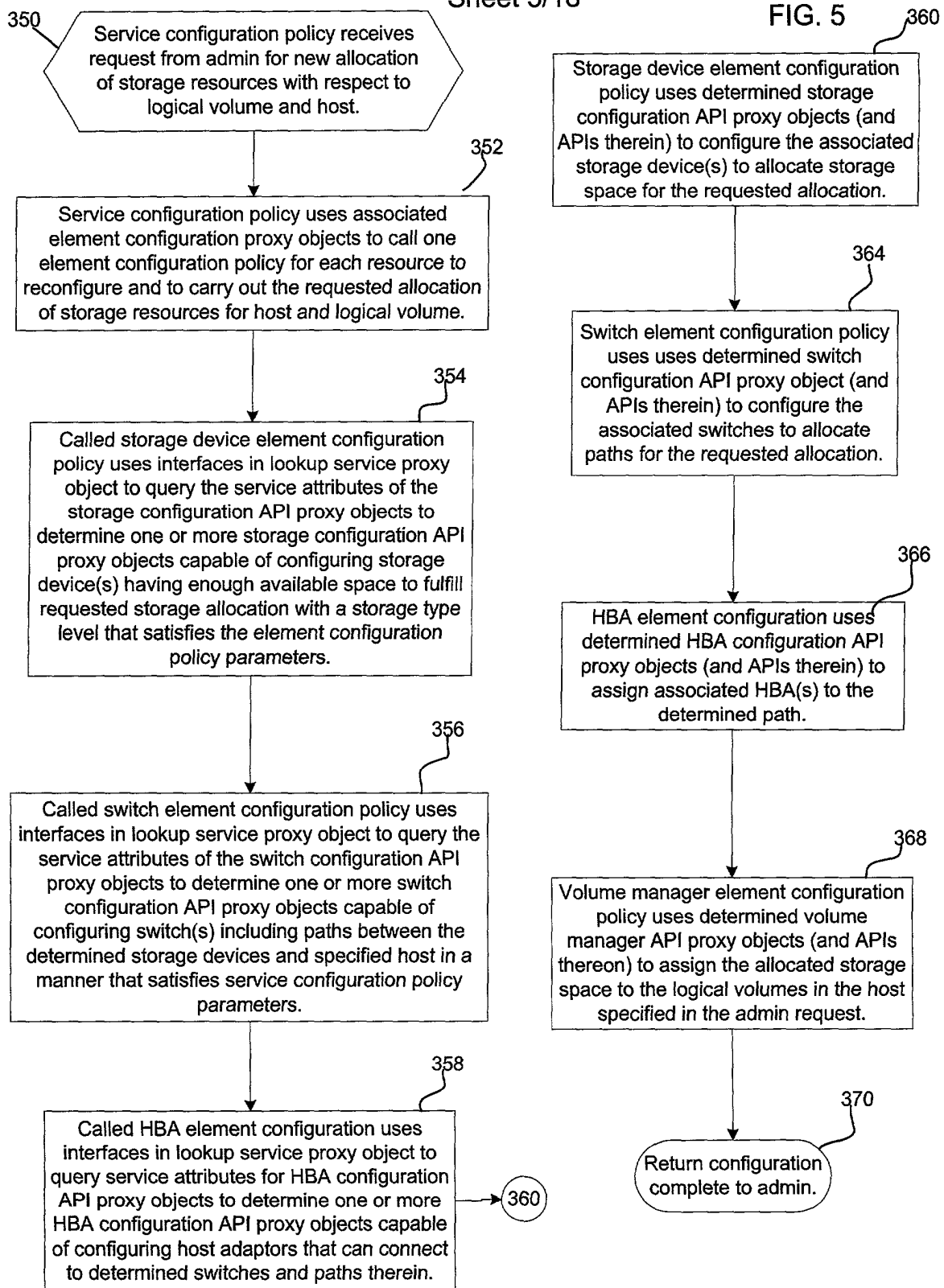


FIG. 4





P5764  
R. DaSilva et al.  
Sheet 6/18

FIG. 6

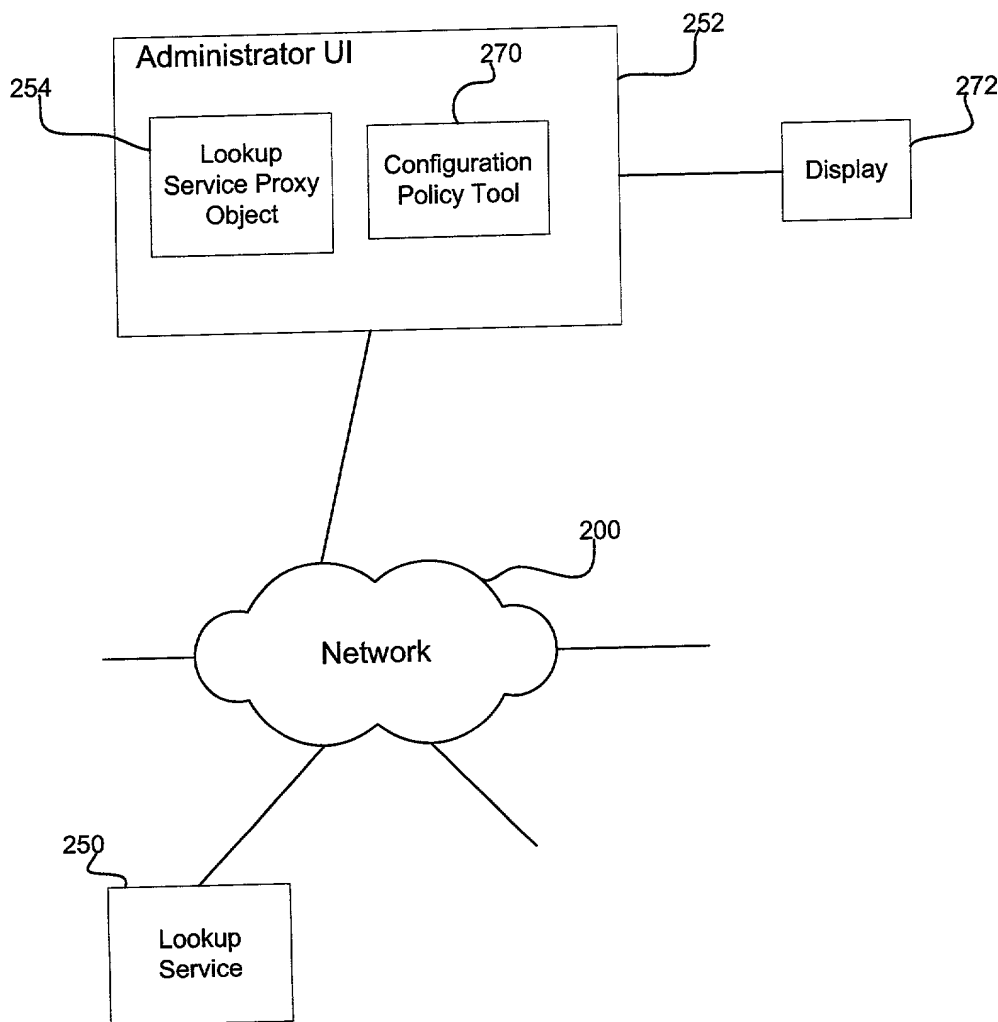


FIG. 7

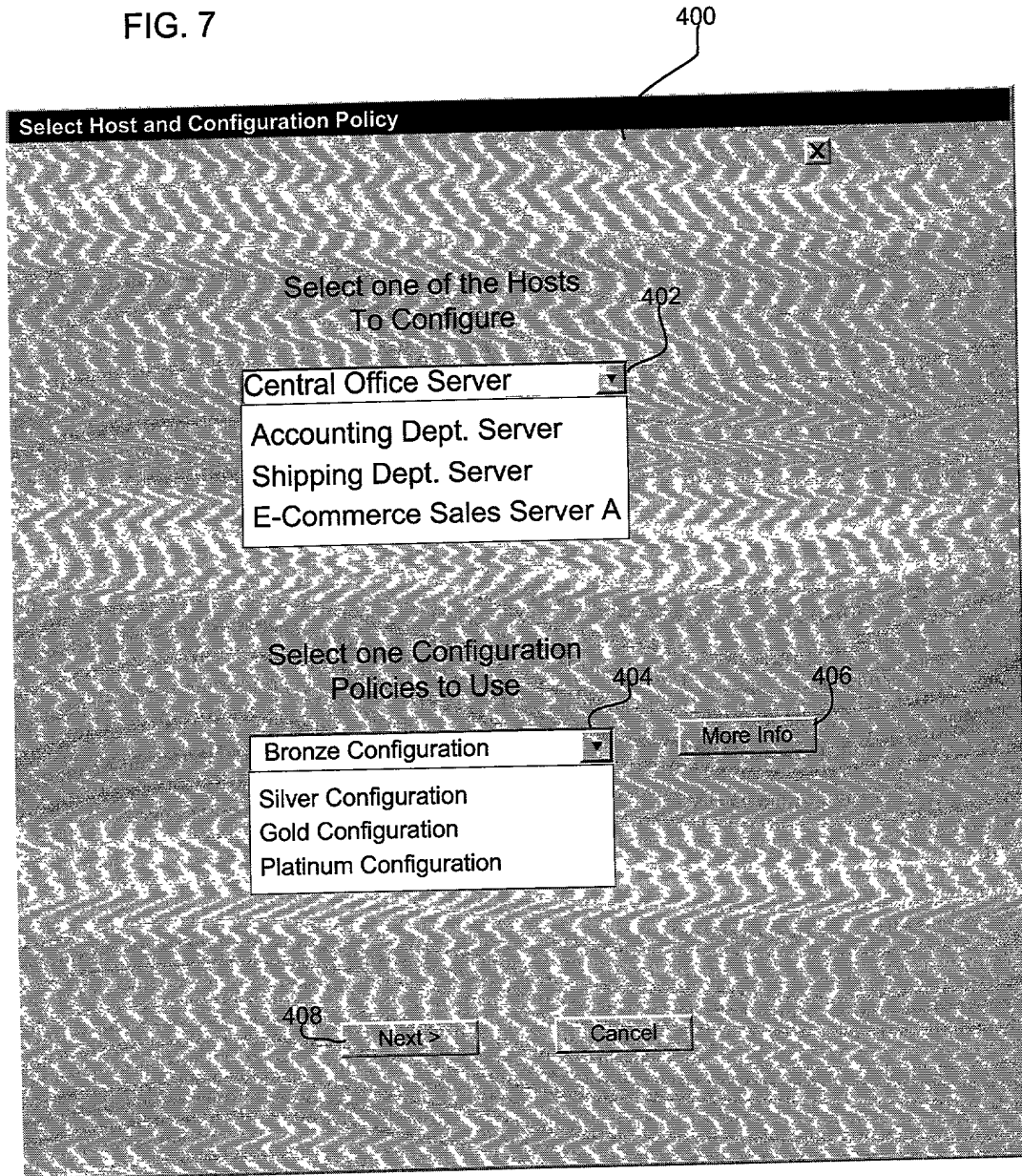
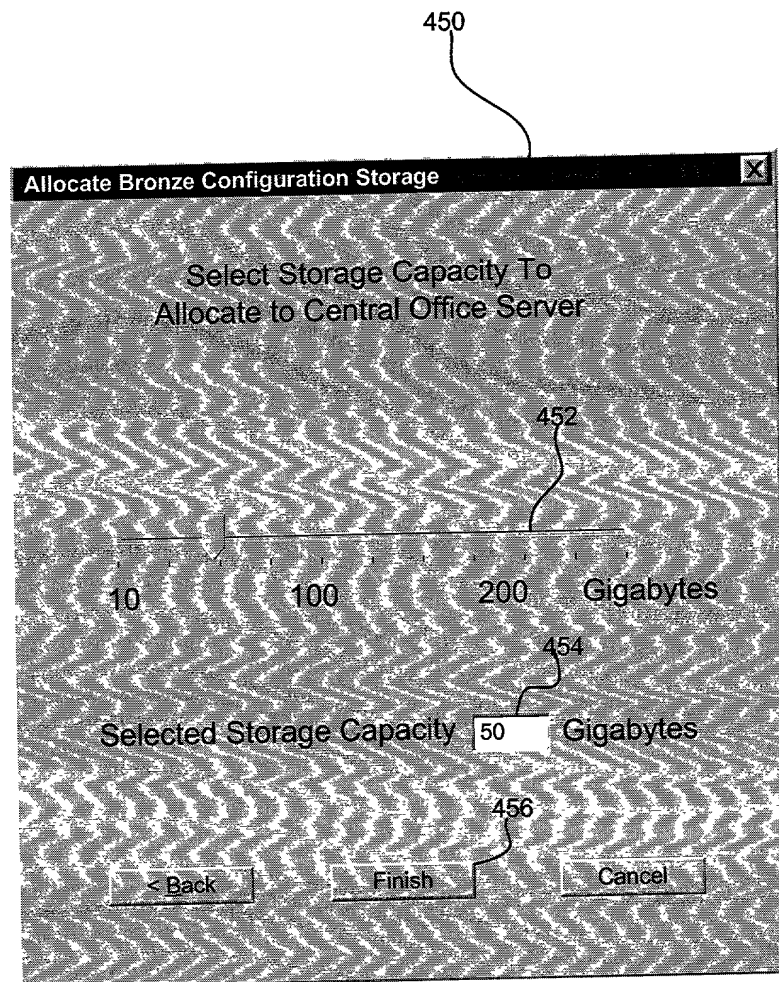


FIG. 8



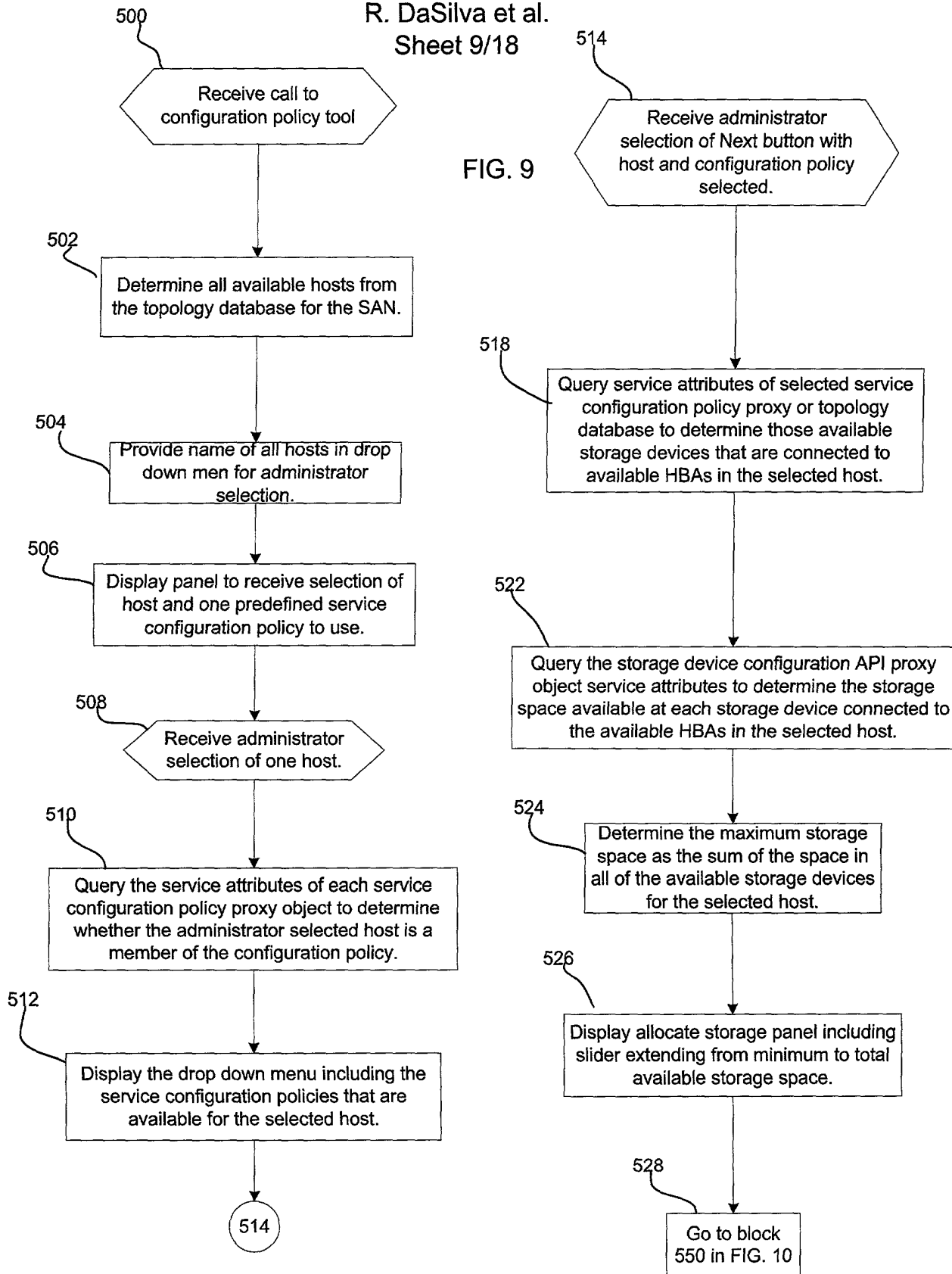


FIG. 10

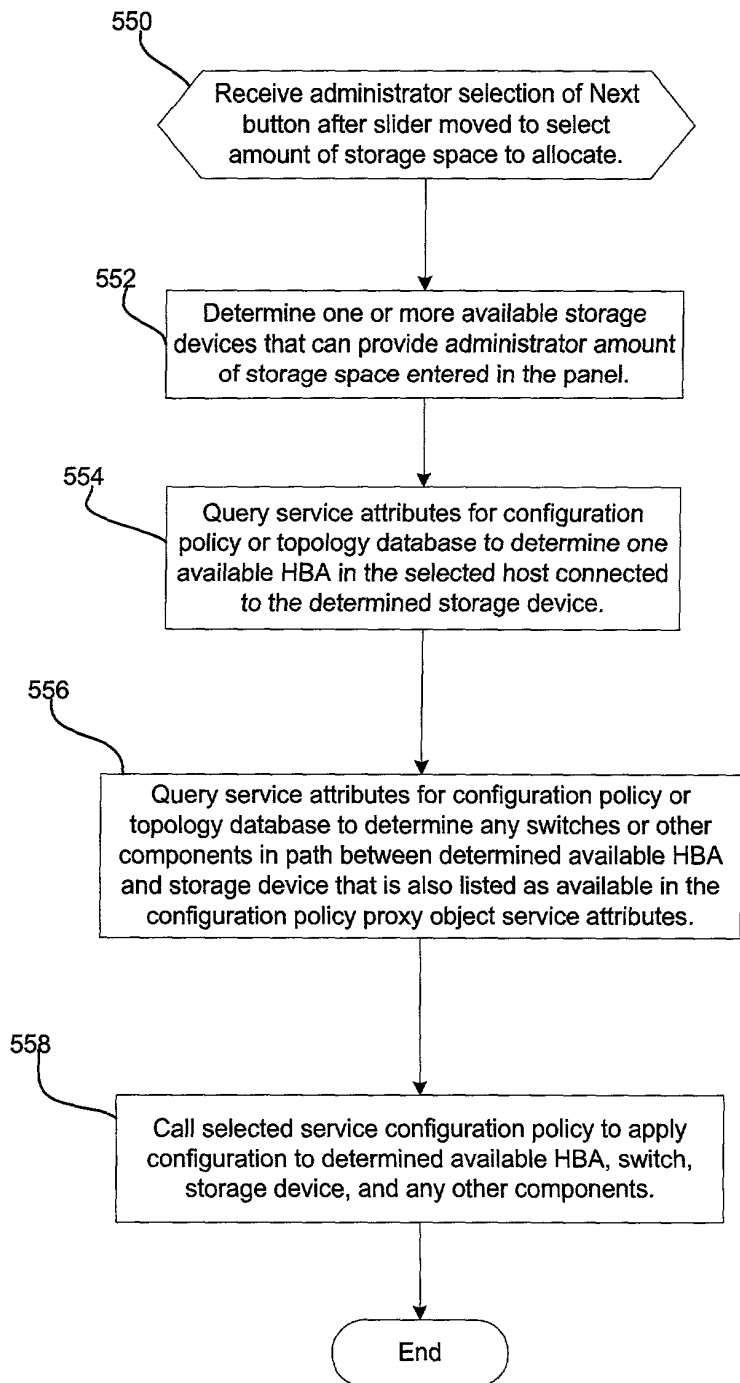


FIG. 11

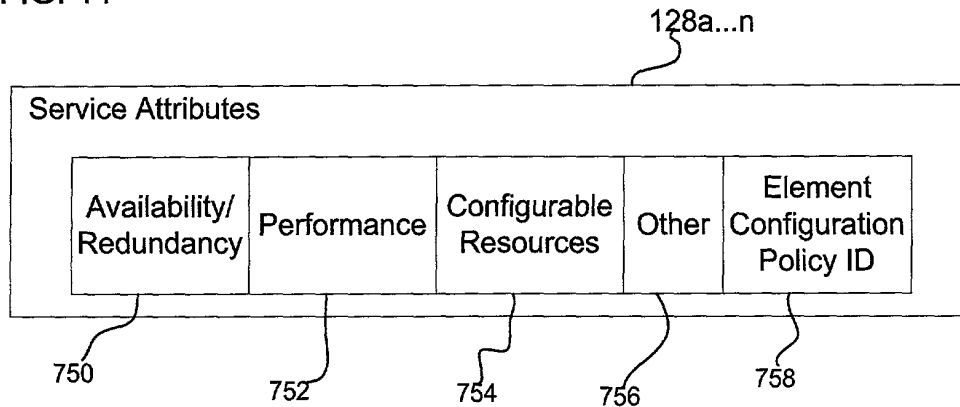


FIG. 12

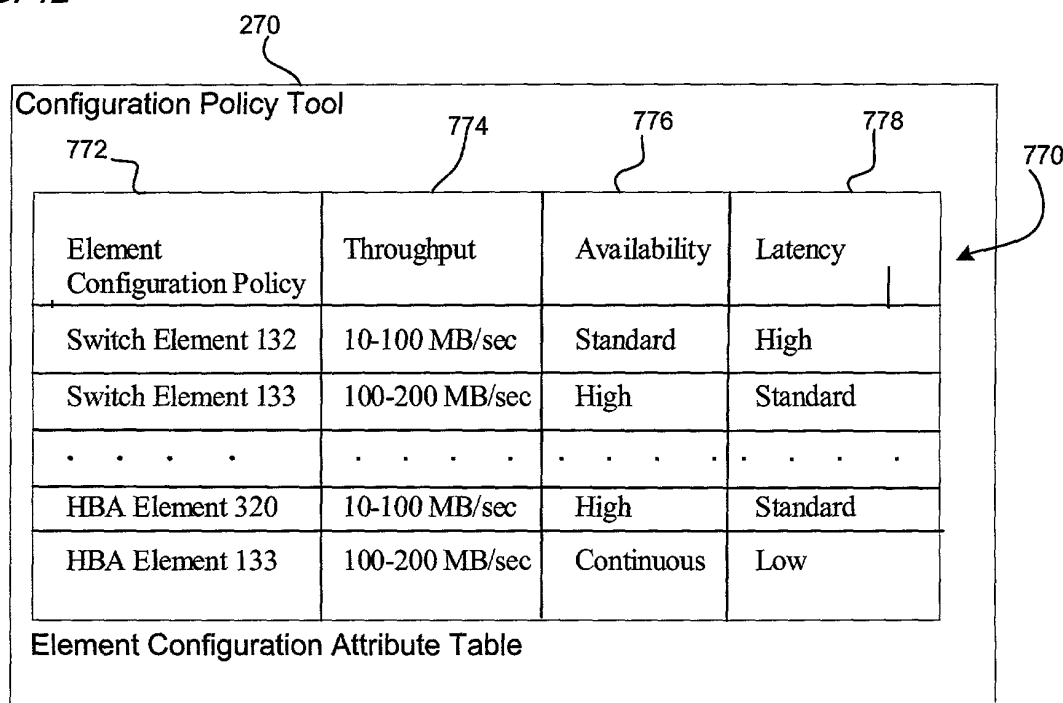
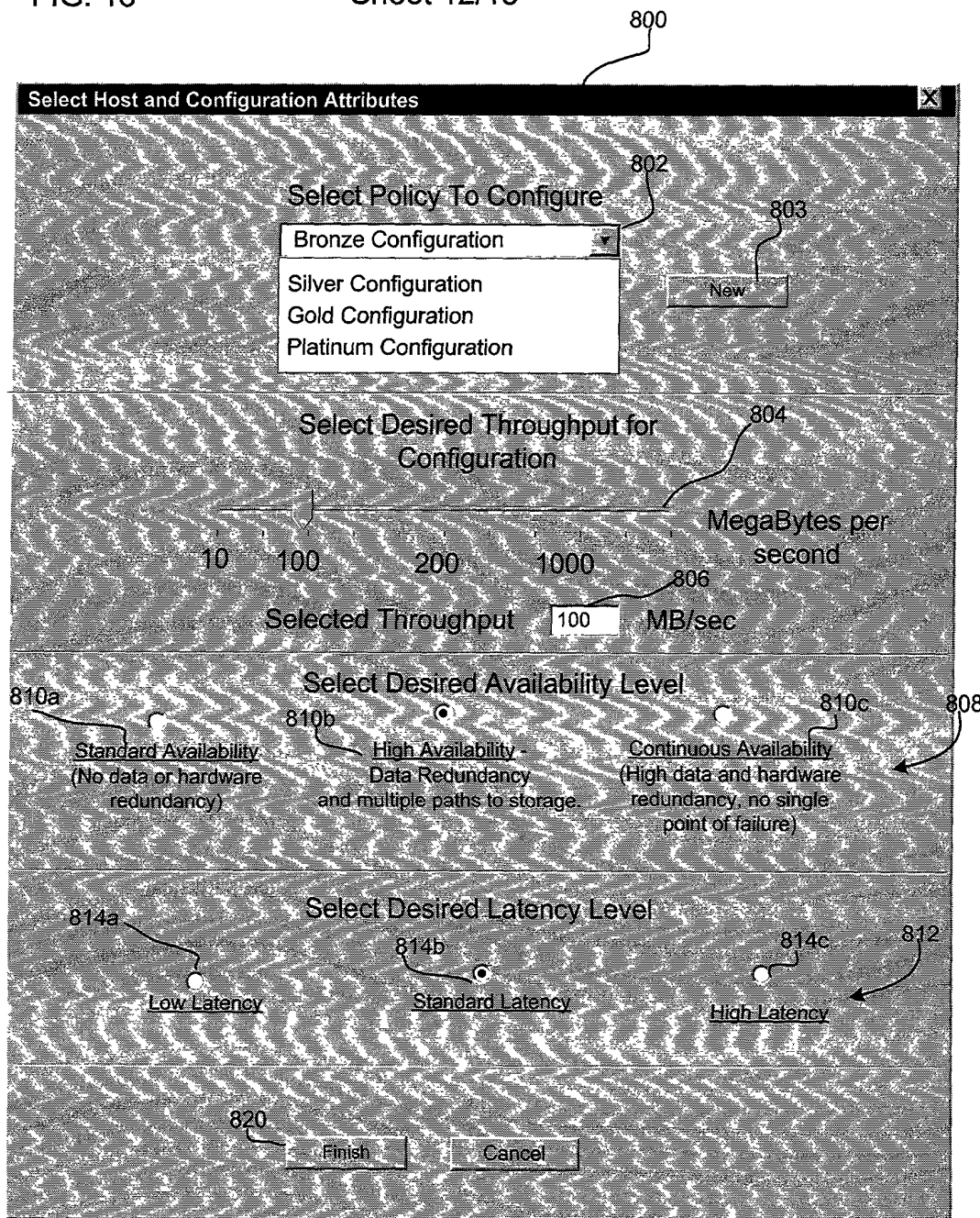


FIG. 13



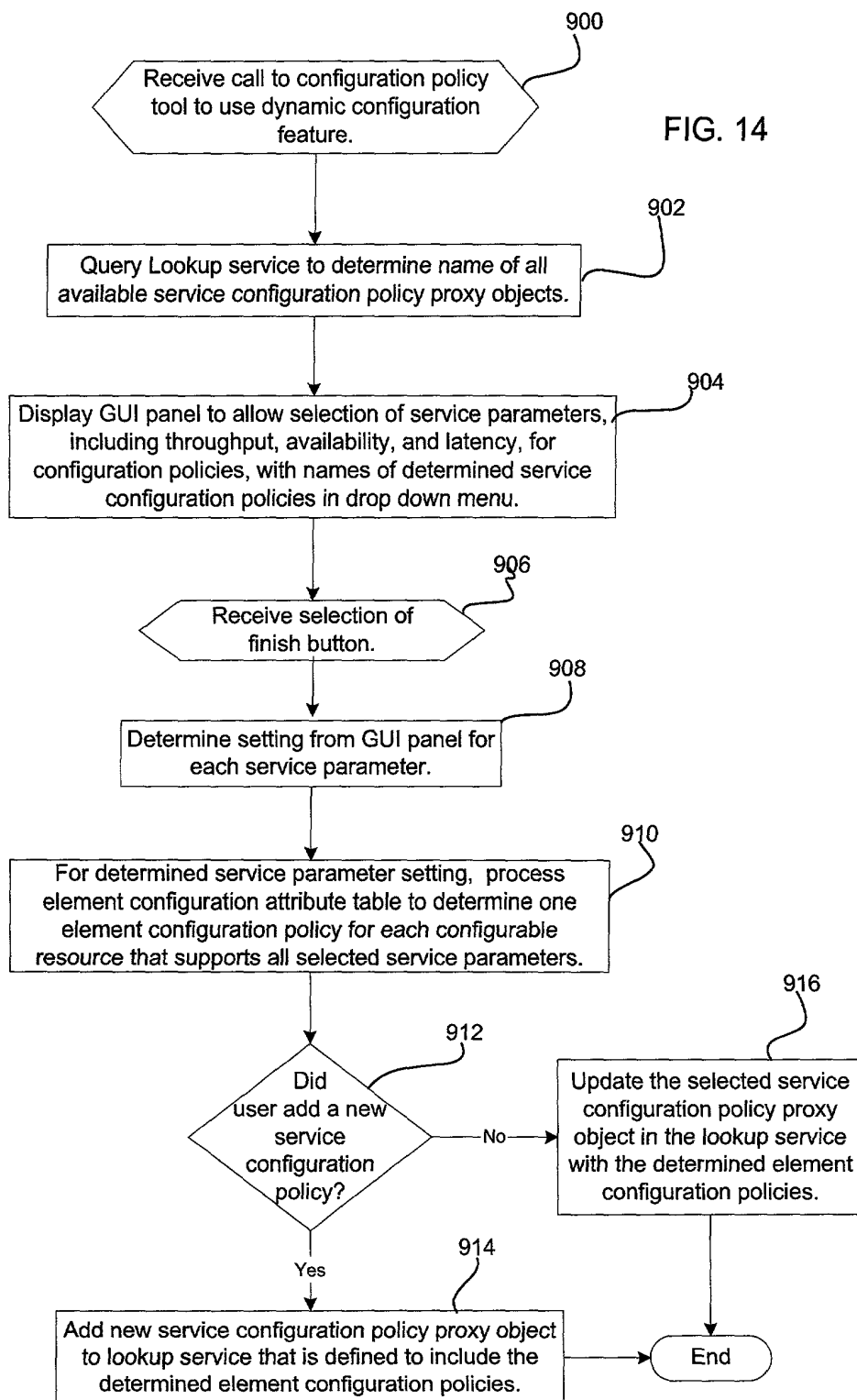
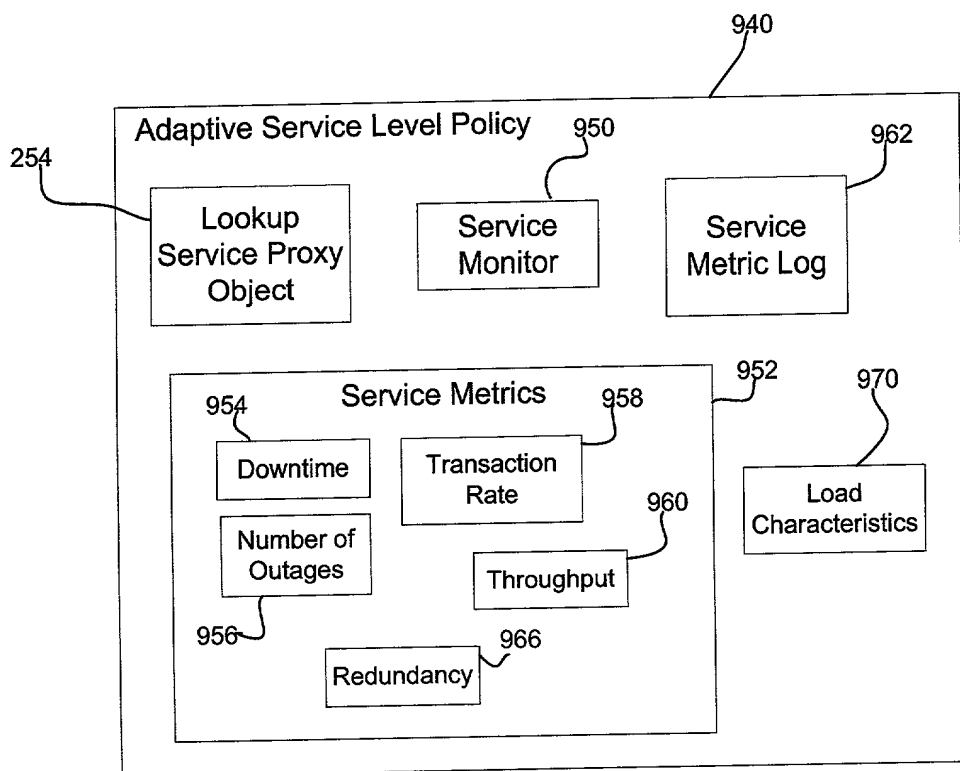


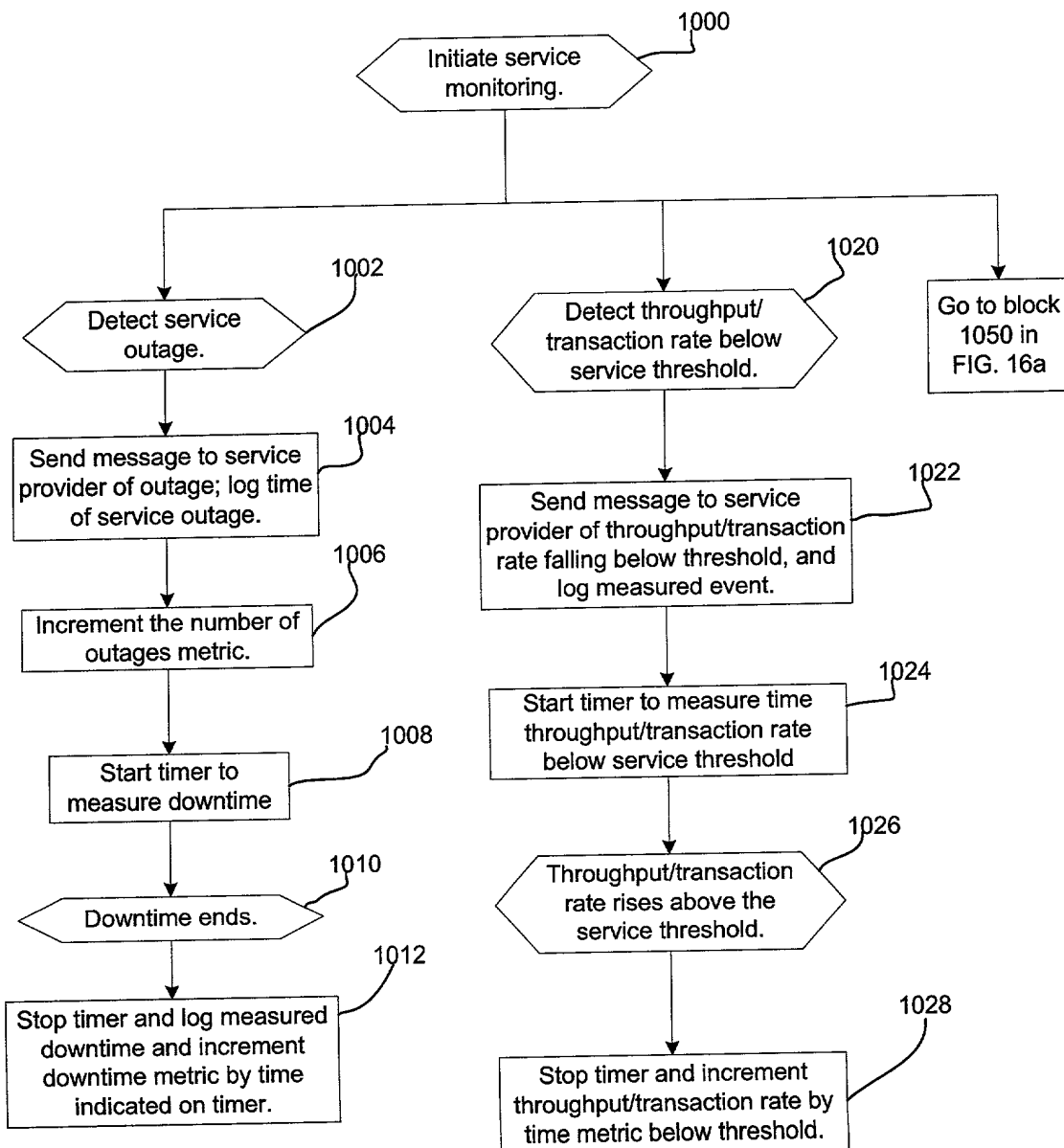
FIG. 14

FIG. 15



P5764  
R. DaSilva et al.  
Sheet 15/18

FIG. 16a



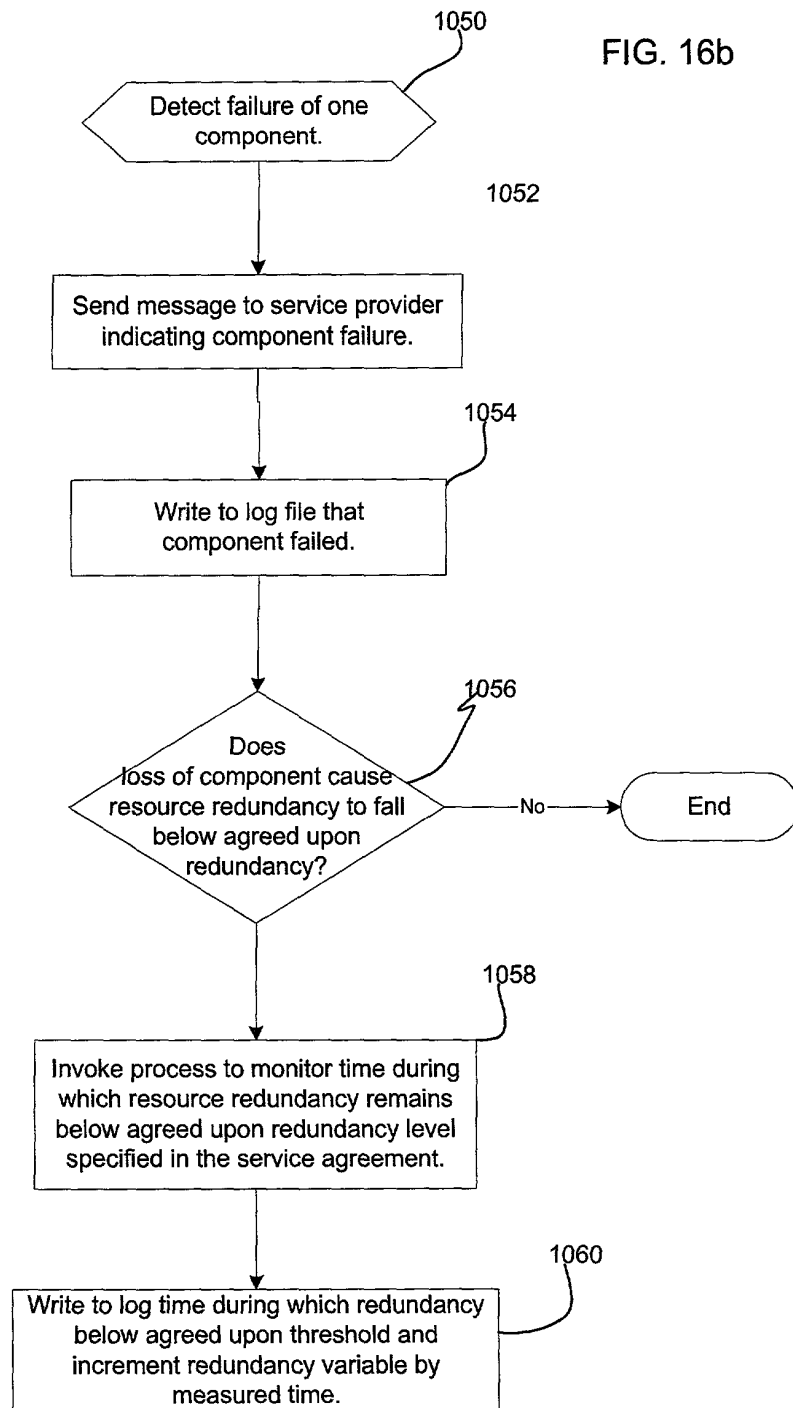


FIG. 16b

FIG. 17

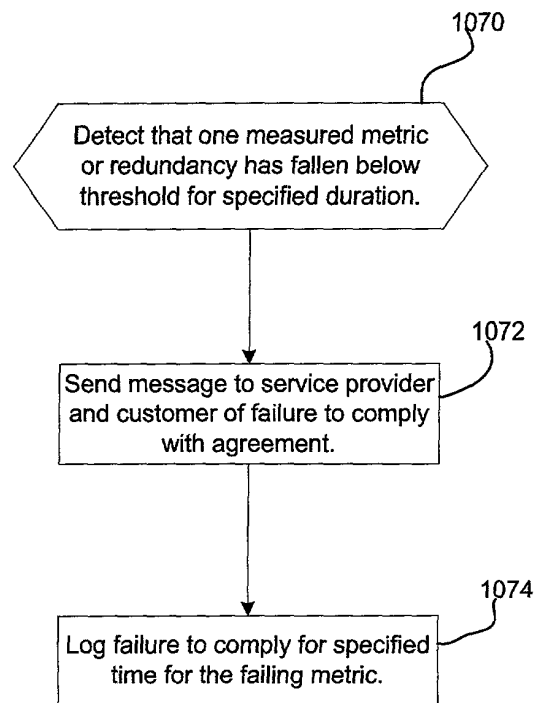


FIG. 18

